

УДК 681.518.3

## МЕТОД СИНТЕЗА LD-ПРОГРАММ ДЛЯ ПЛК НА ОСНОВЕ КОНЦЕПЦИИ СУПЕРВИЗОРНОГО УПРАВЛЕНИЯ ДИСКРЕТНО-СОБЫТИЙНЫМИ СИСТЕМАМИ, ПРЕДСТАВЛЕННЫМИ В СЕТЯХ ПЕТРИ

А.С. Хадеев<sup>1</sup>, С.А. Браништов<sup>2</sup>  
(<sup>1</sup>ЗАО "АтлантИкТрансгазСистема", <sup>2</sup>ИПУ РАН)

### I. Теория управления в дискретно-событийных системах

Динамика в моделях дискретно-событийных (ДСС) определяется асинхронным возникновением дискретных событий, переводящих систему из одного состояния в другое. События могут быть контролируемыми – например нажатие клавиши на клавиатуре или включение некоего оборудования, а могут быть неконтролируемыми – например возникновение аварийной ситуации. В фундаментальной работе В. Вонхама и П. Ра-

маджа [1] представлена теория управления в ДСС, в которой методология логического управления в ДСС основана на концепции супервизорного управления. Супервизор ограничивает поведение системы в соответствии с набором предварительно заданных ограничений. Фактически он предотвращает переход системы в одно из запретных состояний, предусмотренных ограничениями. На рис. 1 показано взаимодействие объекта  $G$  с супервизором  $S$ , где  $e_n$  – все события, возникающие в объекте  $G$ ,  $e_u$  – события, разрешенные супервизором  $S$ .

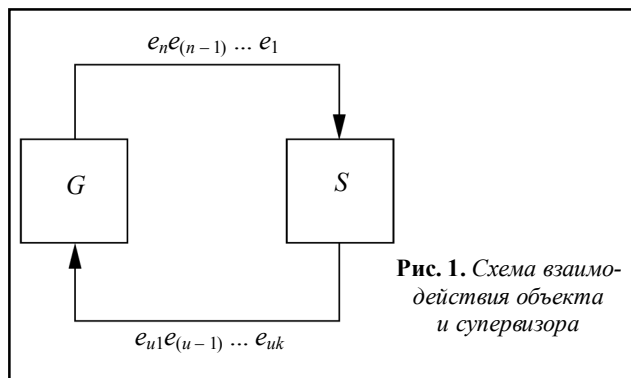


Рис. 1. Схема взаимодействия объекта и супервизора

В серии работ А. Амбарцумяна [8–11] исследованы ситуации, в которых из одного состояния системы могут последовать разные события, в зависимости от предыстории.

Теория супервизорного управления сформулирована в механизмах конечных автоматов и формальных языков, которые обладают известной проблемой "взрыва состояний" – при моделировании систем количество состояний модели экспоненциально растет при увеличении системы, что существенно усложняет расчет подобных моделей. Сети Петри лишены этого недостатка, к тому же обладают удобным и наглядным графическим представлением.

Международный стандарт МЭК 61131-3 предопределяет несколько языков для программирования ПЛК:

- IL (Instruction List) – аппаратно-независимый низкоуровневый язык, представляющий алгоритм выполнения в виде списка инструкций;
- LD (Ladder Diagram) – язык лестничной логики, иначе называемый релейно-контактными схемами (РКС), позволяет в графическом виде представить программную реализацию электрических схем на базе электромагнитных реле;
- FBD (Function Block Diagram) – графический язык, представляющий алгоритм в виде связи функциональных блоков, имеющих входы и выходы;
- SFC (Sequential Function Chart) – графический высокоуровневый язык, описывающий программу в виде последовательности состояний и условий переходов;
- ST (Structured Text) – язык структурированного текста, похожий на Паскаль.

Несмотря на то, что для совершенствования техник программирования ПЛК приложено множество усилий, развитию синтеза логики управления уделено гораздо меньше внимания. В данной работе рассмотрен целостный подход к формированию логики поведения ПЛК, начиная с формирования модели для объекта и кончая синтезом программы для ПЛК на языке LD.

## II. Синтез супервизора в сетях Петри

В основе моделирования большого количества динамических систем лежат три основополагающих понятия: событие, условие и состояние. Состояние системы в момент времени  $t$  описывает ее поведение в этот момент измеряемым способом. События – это

действия, имеющие место как в самой системе, так и извне, по отношению к системе. Возникновение события обуславливается некоторым количеством условий. В сетях Петри события моделируются переходами, а условия – позициями. Некоторые позиции являются входными к переходам, в них задаются условия, необходимые для возникновения события. Другие условия выходные, в них определяются последствия возникновения события. Позиции, переходы и связи между ними определяют основные компоненты графа сетей Петри. В данной работе используется расширенная концепция сетей Петри, подробно и системно изложенная Д. Питерсоном [2] и В. Котовым [3].

Граф сети Петри – это взвешенный двудольный ориентированный граф  $(P, T, A, \omega)$  где  $P$  – конечный набор позиций (один из типов вершин в графе);  $T$  – конечный набор переходов (другой тип вершин);  $A \subseteq (P \times T) \cup (T \times P)$  – набор дуг от позиций к переходам и от переходов к позициям;  $\omega : A \rightarrow N / \{0\}$  – функция, взвешивающая дуги. Предполагается, что в графе нет изолированных позиций или переходов.

В графическом представлении позиция обозначается в виде кружка, а переход – в виде черты. Условия-позиции и события-переходы связаны отношением причинно-следственной связи, которая выражается в виде направленных дуг, ведущих из позиций в переходы и из переходов в позиции. Позиции, из которых ведут дуги в данный переход, называются входными по отношению к нему, а на которые идут дуги из перехода – выходными.

Взвешивающая функция  $\omega$  сопоставляет каждому соединению двух вершин вес, или, иначе говоря, кратность, которая, определяется как число  $n > 0$ . Сеть Петри, в которой кратность всех дуг равна 1, называется *ординарной*. Если  $n > 1$ , то в графическом представлении сети число  $n$  выписывается рядом с дугой, а иногда такая дуга заменяется пучком из  $n$  дуг, соединяющих вершины. Иначе говоря, если кратность дуги  $\omega(p_i, t_i) = k$ , тогда от  $p_i$  к  $t_i$  ведут  $k$  дуг; то же касается и дуг от переходов к позициям, для которых  $\omega(t_i, p_i) = k$ .

Состояние системы в сети Петри обозначается *маркировкой* сети  $m$ , а именно присвоением маркеров (фишек) позициям сети. Маркировка нужна для моделирования последовательности событий в системе. О текущей маркировке сети Петри говорят как о состоянии сети, а изменение маркировки соответствует изменению состояния объекта. На графе сети Петри фишки изображаются точкой в кружке позиции. Допустимо вместо точек указывать цифру, соответствующую числу фишек в этой позиции. Формально, маркированная сеть Петри записывается как пятерка  $(P, T, A, \omega, \mu_0)$ , где  $\mu_0$  – начальная маркировка сети в виде вектора, содержащего число фишек в каждой позиции. Такой вектор носит название *вектора маркировки*  $\mu = [\mu(p_1), \mu(p_2), \dots, \mu(p_n)]^T \in N^n$ , где  $p_i$  – позиции сети, пронумерованные в выбранном порядке,  $\mu(p_i)$  – их текущая маркировка.

*Препозицией* для позиции  $p$  называется набор входных по отношению к ней переходов:  $I(p) = \{t \in T : (t, p) \in A\}$ ;

постпозицией для позиции  $p$  называется набор выходных по отношению к ней переходов  $O(p) = \{t \in T: (p, t) \in A\}$ ;  $p$  будет *исходной позицией*, если  $I(p) = 0$ , и конечной позицией, если  $O(p) = 0$ . Точно так же определяются препозиция и постпозиция для переходов.

Динамика моделируемой системы находит свое отражение в *выполнении* сети Петри, которое можно представить как совокупность локальных срабатываний переходов, что соответствует реализации соответствующих им событий. Срабатывать могут только *разрешенные переходы*, т. е. такие, для которых выполнены все условия реализации соответствующего события и для которых формально число фишек во входной позиции больше либо равно весу входной дуги  $\mu(p_i \geq \omega(p_i, t_i))$ , для всех  $p_i \in I(t_j)$ . Срабатывание перехода меняет маркировку связанных с ним позиций, извлекая фишки из входных позиций и добавляя в выходные. Соответственно меняется и состояние сети.

Традиционная модель сетей Петри представляет структуру управления, но не отражает ее связи с объектом управления. Для ее развития появились различные расширения сети Петри, в которых по-разному моделируется взаимодействие сети Петри с управляемым процессом. Расширения предлагают новые свойства дуг, переходов и позиций, новые правила выполнения. Одна из модификаций, носящая названия *управляемых сетей Петри*, предполагает ввод в сеть Петри специального множества *управляющих позиций*, каждая из которых представляет отдельный входной или выходной сигнал, за счет чего достигается взаимодействие с объектом. Динамика в этой модели управляется помещением метки в позиции, соответствующие входным сигналам. Метки, появившиеся в позициях, соответствующих выходным сигналам, удаляются, имитируя передачу сигналов из модели.

*Матрица инцидентности* сети Петри содержит информацию о структуре сети Петри, представленной весами дуг, соединяющих позиции с переходами. Формально матрица  $D$  определяется размерностью  $n \times l$ , где  $n$  – число позиций,  $l$  – число переходов. Элементы матрицы  $d_{ij} = \omega(t_j, p_i) - \omega(p_i, t_j)$ . Проще говоря, элементы матрицы содержат числа, отражающие, как изменится наполненность позиций фишками после срабатывания перехода.

Матрицу инцидентности можно представить в виде композиции двух матриц: выходной  $D^+$ , представляющей дуги от позиций к переходам, и входной  $D^-$ , представляющей дуги от переходов к позициям:

$$D = D^+ - D^- \quad (D^+, D^- \geq 0).$$

Соответственно, элементы  $d_{ij}^+$  и  $d_{ij}^-$  матриц  $D^+$  и  $D^-$  определяются следующим образом:

$$d_{ij}^+ = \begin{cases} \omega(t_j, p_i), & \text{если } (t_j, p_i) \in A; \\ 0 & \text{иначе;} \end{cases}$$

$$d_{ij}^- = \begin{cases} \omega(p_i, t_j), & \text{если } (p_i, t_j) \in A; \\ 0 & \text{иначе.} \end{cases}$$

Сеть Петри имеет следующий вид:

$$S = (P, T, D^-, D^+).$$

*Инвариантой позиций* называют целочисленный вектор  $X = \{x_i\}$ ,  $i = 1, 2, \dots, n$ , такой, что  $x_i \in \{0, 1\}$ , и этот вектор является решением линейной системы

$$X^T D = 0. \quad (1)$$

Вектор  $X$  единичными значениями характеризует подмножество позиций, в которых при любой достижимой маркировке число фишек постоянно.

Пусть задана модель исследуемого объекта в виде сети Петри с  $n$  позициями и  $l$  переходами  $D_p \in \mathbb{Z}^{l \times n}$ ,  $\mathbb{Z}$  – множество целых чисел, равно как и набор ограничений, определяющих ее поведение. Наша цель – сконструировать супервизор  $D_c = \mathbb{Z}^{l \times n_c}$ , который, будучи присоединенным к сети модели объекта  $D \in \mathbb{Z}^{l \times (n+n_c)}$ , обеспечит выполнение заданных ограничений. Супервизор будет состоять из новых позиций, но использовать переходы сети Петри, моделирующей объект.

Эффективный метод задания ограничений предполагает, что маркировки  $m_i$  могут быть выражены в виде неравенств

$$\mu_i + \mu_j \leq 1, \quad (2)$$

где  $\mu_i, \mu_j$  – маркировки позиций  $p_i, p_j$ . Данная формула говорит о том, что обе позиции не могут содержать фишки одновременно. Это неравенство может быть преобразовано в равенство путем добавления подстановочной переменной  $\mu_k \geq 0$ :

$$\mu_i + \mu_j + \mu_k = 1. \quad (3)$$

Подстановочная переменная представляет новую позицию  $p_s$ , обеспечивающую стабильность суммы меток в позициях  $p_i$  и  $p_j$ , которая всегда будет равна 1. Новая позиция входит в *сеть супервизора* и носит название *позиции супервизора*. Таких позиций будет столько же, сколько ограничений наложено на модель.

Добавление новой позиции изменяет композитную матрицу инцидентности  $D$  объединенной сети, добавляя к ней строку, представляющую подстановочную позицию. Фактически эта строка принадлежит матрице инцидентности супервизора  $D_c$ , ненулевые элементы в которой обозначают дуги, соединяющие позицию  $P_s$  с переходами сети модели процесса.

Все ограничения могут быть сгруппированы и приведены к матричной форме

$$L \cdot \mu_p \leq b, \quad (4)$$

где  $\mu_p$  – вектор маркировки сети Петри объекта  $\mu_p \in \mathbb{Z}^n$ ,  $\mu_p \geq 0$ ;  $L \in \mathbb{Z}^{n_c \times n}$ ;  $b \in \mathbb{Z}^{n_c}$ ;  $n_c$  – количество ограничений типа (2). Другими словами, мы хотим исключить из достижимых маркировок сети Петри те, которые не соответствуют (4).

Аналогично преобразуем неравенство в равенство

$$L \cdot \mu_p + \mu_c = b, \quad (5)$$

где  $\mu_c \in \mathbb{Z}^n$ ,  $\mu_c \geq 0$  – вектор, представляющий марки-

ровку сети супервизора. Далее вычислим всю структуру сети супервизора, включая дуги, соединяющие позиции этой сети с переходами сети, описывающей процесс.

Замкнутая система (оригинальная сеть Петри плюс супервизор) имеет следующую структуру:

$$D = \begin{bmatrix} D_p \\ D_c \end{bmatrix}; \quad m_0 = \begin{bmatrix} \mu_{p0} \\ \mu_{c0} \end{bmatrix}. \quad (6)$$

Расширим формулу инварианты позиций (1)

$$X^T D = [LI] \begin{bmatrix} D_p \\ D_c \end{bmatrix} = 0 \Leftrightarrow LD_p + D_c = 0 \Updownarrow \\ D_c = -LD_p, \quad (7)$$

где  $L$  – единичная матрица  $n_c \times n_c$ , так как все коэффициенты подстановочных переменных равны 1. Матрица супервизора  $D_c$ , размерности  $n_c \times l$  содержит дуги, соединяющие позиции сети супервизора с переходами сети процесса.

Формула (7) вычисляет супервизор сети Петри  $D_c$ , который удовлетворяет заданным ограничениям при известной модели процесса. Начальная маркировка позиций супервизора  $\mu_{c0}$  при известной маркировке сети процесса  $\mu_{p0}$  вычисляется следующим образом:

$$L\mu_{p0} + \mu_{c0} = b \Leftrightarrow \mu_{c0} = b - L\mu_{p0}, \quad \mu_{c0} \geq 0. \quad (8)$$

### III. Пример построения супервизора

Интересным является пример, имеющий практическое применение, такой, как железнодорожный стрелочный перевод (стрелка). Стрелка, как показано на рис. 2, имеет два конечных положения: на первом и на втором путях, а также два промежуточных, в которые попадает путем подачи команды на перестановку. Помимо этого, стрелка оснащена датчиком, распознающим нахождение на стрелке вагона. Задача управления в данном случае заключается в том, чтобы предотвратить переключение стрелки в момент нахождения на ней железнодорожного вагона.

Дискретно-событийная модель стрелки в виде сети Петри представлена на рис. 3.

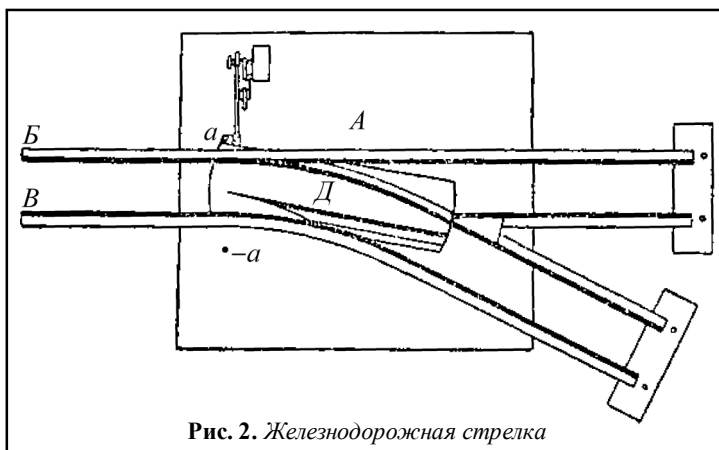


Рис. 2. Железнодорожная стрелка

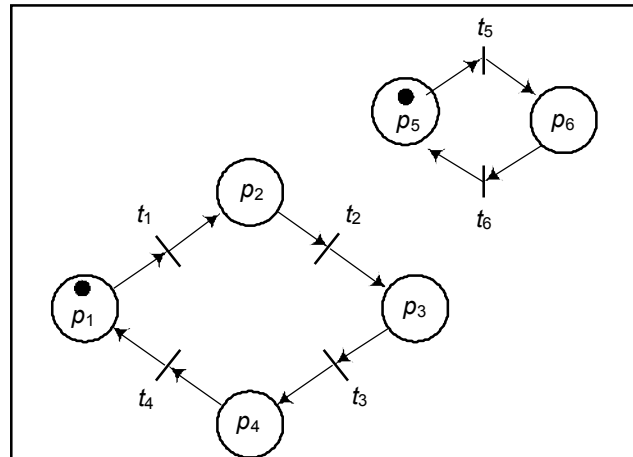


Рис. 3. Дискретно-событийная модель стрелки:

$p_1$  – стрелка указывает на путь 1;  $p_2$  – стрелка переводится на путь 2;  $p_3$  – стрелка указывает на путь 2;  $p_4$  – стрелка переводится на путь 1;  $p_5$  – стрелка свободна;  $p_6$  – стрелка занята вагоном;  $t_1$  – разрешение на перевод стрелки на путь 1;  $t_2$  – стрелка переведена на путь 1;  $t_3$  – разрешение на перевод стрелки на путь 2;  $t_4$  – стрелка переведена на путь 2;  $t_5$  – вагон находится на стрелке;  $t_6$  – вагон покинул стрелку

Матрица инцидентности  $D_p$  для данной сети Петри приведена ниже:

$$D_p = \begin{bmatrix} -1 & 0 & 0 & 1 & 0 & 0 \\ 1 & -1 & 0 & 0 & 0 & 0 \\ 0 & 1 & -1 & 0 & 0 & 0 \\ 0 & 0 & 1 & -1 & 0 & 0 \\ 0 & 0 & 0 & 0 & -1 & 1 \\ 0 & 0 & 0 & 0 & 1 & -1 \end{bmatrix}.$$

Ограничения для данной сети Петри, представляющей модель стрелки, состоят в том, что позиции  $p_2$  и  $p_4$  достижимы только при отсутствии маркировки в позиции  $p_6$ . Зададим ограничения в соответствии с формулой (5):

$$\mu_2 + \mu_4 + \mu_6 \leq 1.$$

Соответственно вектор ограничений  $L$  будет выглядеть следующим образом:

$$L = [0 \ 1 \ 0 \ 1 \ 0 \ 1].$$

Проведя преобразование в соответствии с формулой (8) получим вектор супервизора  $D_c$ :

$$D_c = [-1 \ 1 \ -1 \ 1 \ -1 \ 1]. \quad (9)$$

Полная матрица инцидентности  $D$  сети Петри с супервизором приведена ниже:

$$D = \begin{bmatrix} -1 & 0 & 0 & 1 & 0 & 0 \\ 1 & -1 & 0 & 0 & 0 & 0 \\ 0 & 1 & -1 & 0 & 0 & 0 \\ 0 & 0 & 1 & -1 & 0 & 0 \\ 0 & 0 & 0 & 0 & 1 & -1 \\ 0 & 0 & 0 & 0 & -1 & 1 \\ 1 & 1 & -1 & 1 & -1 & 1 \end{bmatrix}.$$

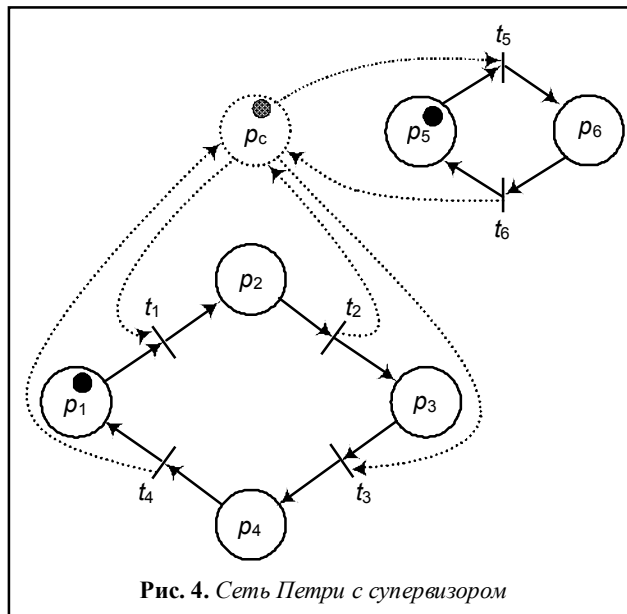


Рис. 4. Сеть Петри с супервизором

Начальная маркировка  $\mu_c$  в соответствии с (9) будет следующей:

$$\mu_c = 1.$$

Сеть Петри с синтезированным супервизором приведена на рис. 4.

#### IV. Метод преобразования в язык LD

Составление модели поведения объекта и сопоставление ей входов и выходов супервизора является творческим занятием, требующим участия человека. Но методы преобразования избавляют от необходимости ручного учета последовательностей команд, а представление модели в виде сети Петри делает поведение объекта наглядным, что снижает вероятность ошибок. Входы ПЛК сопоставляются условиям для срабатывания переходов, а выходы – как позиции в сети Петри.

Для рассматриваемого примера сопоставление входов и выходов ПЛК модели объекта в сети Петри показано на рис. 5.

Входы ПЛК $PLC_0$	Условие для перехода $x(t_i)$	Описание
Ю.1	$t_1$	Разрешение на перевод стрелки на путь 1
Ю.2	$t_2$	Стрелка переведена на путь 1
Ю.3	$t_3$	Разрешение на перевод стрелки на путь 2
Ю.4	$t_4$	Стрелка переведена на путь 2
Ю.5	$t_5$	Вагон находится на стрелке

Выходы ПЛК $PLC_1$	Позиции $P$	Описание
О2.1	$p_4$	Стрелка переводится на путь 1 (команда)
О2.2	$p_2$	Стрелка переводится на путь 2 (команда)

Преобразование модели на сетях Петри в LD представляет из себя следующий алгоритм:

1. Переход  $t_i$  учитывается в программе LD в виде

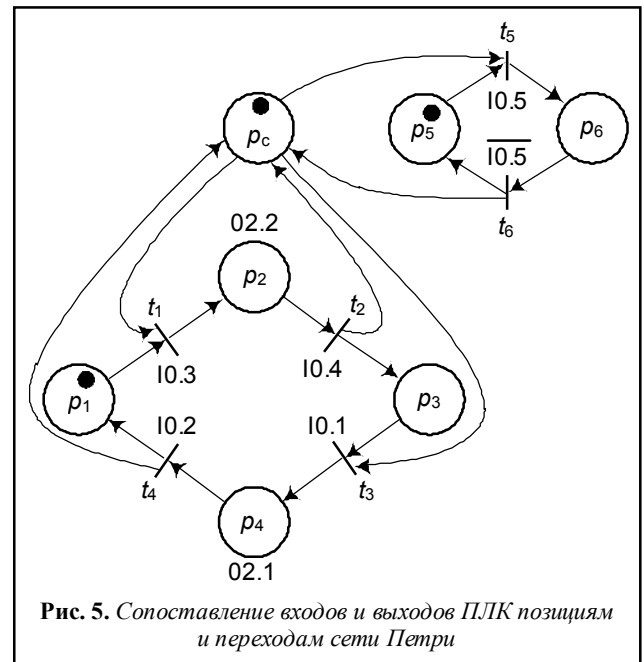


Рис. 5. Сопоставление входов и выходов ПЛК позициям и переходам сети Петри

ступеньки, если хоть одна из выходных позиций для него  $p_k$  отмечена как выход ПЛК. Для каждой такой позиции составляется отдельная ступенька LD:

$$\forall t_i, t_i \in I(p_k), p_k \in PLC_0.$$

2. Формулируются условия возникновения перехода  $\chi(t_i)$  по принципу конкатенации условий всех входных переходов для каждой из позиций  $p_i$ , от которой идет дуга к переходу  $t_i$ , включая и условия для самого  $t_i$ .

$$\chi(t_i) = \bigwedge_{j=1}^l x(t_j), t_j \in I(p_i), t_i \in O(p_i).$$

Для перехода  $t_1$  условия будут следующими:  $\chi(t_1) = x(t_1) \wedge x(t_2) \wedge x(t_4) \wedge x(t_6)$ . Пример определения входных условий для перехода  $t_1$  приведен на рис. 6.  $\chi(t_2)$  определяются аналогичным образом.

3. Из  $\chi(t_i)$  исключаются условия, принадлежащие переходам, к которым идут дуги из  $p_k$ :

$$x(t_j), t_j \in O(p_k).$$

Для  $t_1$  это будут условия  $x(t_2)$ , как показано на рис. 7.

4. Составляются ступеньки, условие которых формулируется из  $\chi(t_i)$ , а выход определяется позицией  $p_k$ .

Для рассматриваемого примера (ж/д стрелка) будут получены следующие условия:

$$\begin{aligned} \chi(t_1) &= x(t_1) \wedge x(t_4) \wedge x(t_6) = \text{Ю.3} \wedge \text{Ю.2} \wedge \overline{\text{Ю.5}}; \\ \chi(t_2) &= x(t_2) \wedge x(t_3) \wedge x(t_6) = \text{Ю.1} \wedge \text{Ю.4} \wedge \overline{\text{Ю.5}}. \end{aligned} \quad (10)$$

Язык лестничной логики (Ladder Diagram) предлагает инженеру в наглядной и интуитивно понятной графической форме представить логические операции как электрическую цепь с замкнутыми и разомкнутыми контактами. При этом программа представляет собой электрическую шину с отходящими от нее ступень-

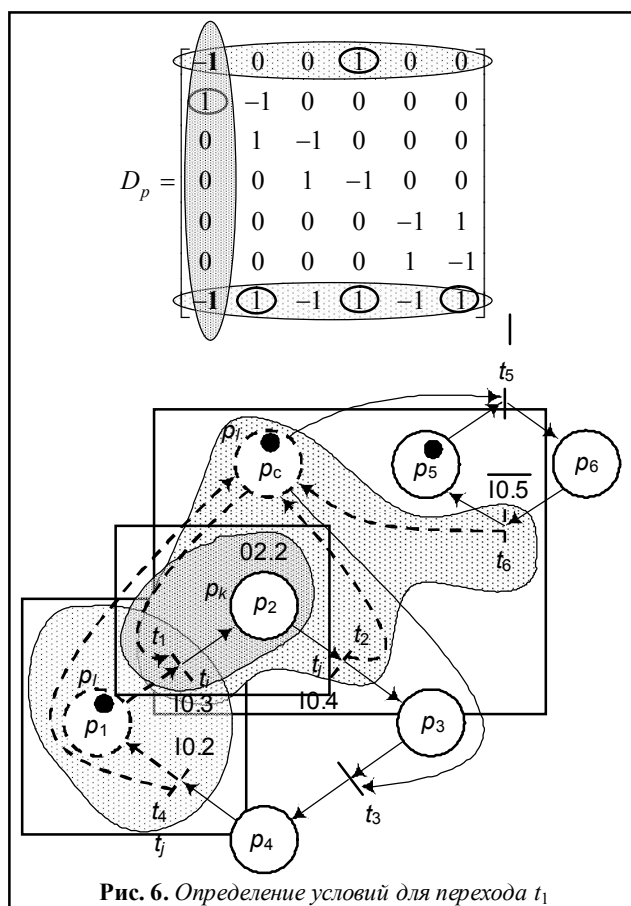


Рис. 6. Определение условий для перехода  $t_1$

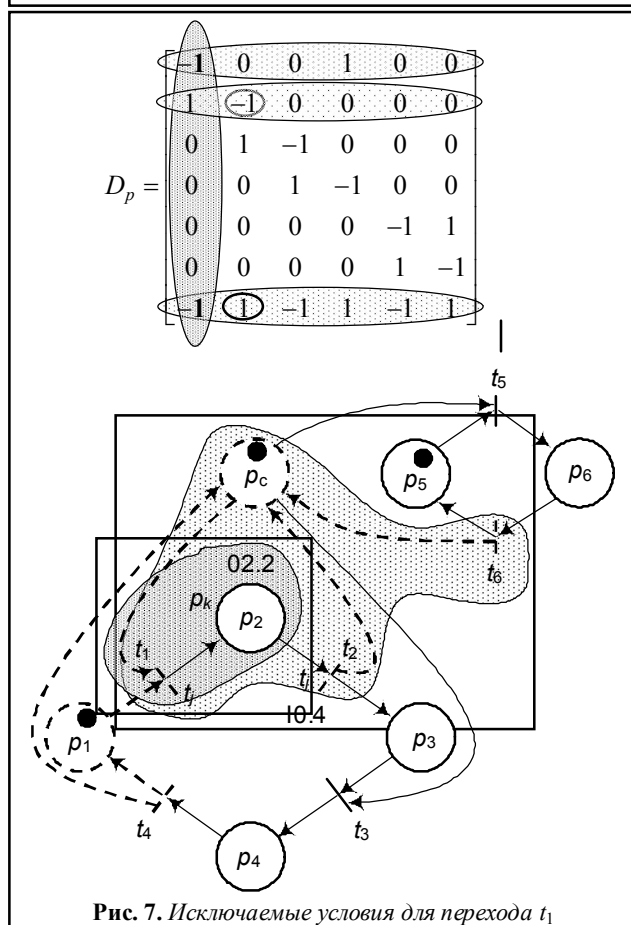


Рис. 7. Исключаемые условия для перехода  $t_1$



Рис. 8. Алгоритм управления на языке LD

ками электрических цепей, протекание или отсутствие тока в которых соответствует совокупности результатов логических операций, установленных на этой цепи контактов реле. Контакты бывают нормально замкнутые и нормально разомкнутые, что можно сопоставить с нормально замкнутыми и нормально разомкнутыми кнопками в электрических цепях (таблица).

Элемент LD	Описание
	Нормально разомкнутый контакт: разомкнут при значении false, назначенной ему переменной, и замыкается при значении true
	Нормально замкнутый контакт: напротив, замкнут, если переменная имеет значение false, и разомкнут, если переменная имеет значение true
	Итог логической цепочки копируется в целевую переменную

Условия (10) на языке LD примут вид, как показано на рис. 8.

### Заключение

Предложенный в данной работе метод позволяет для простой сети Петри, представляющей поведение промышленной системы, синтезировать алгоритм на языке лестничной логики. Рассмотрен пример железнодорожной стрелки, для которой построена дискретно-событийная модель и в соответствии с теорией супервизорного управления синтезирован супервизор для заданного набора ограничений. Показано применение предложенного авторами метода к полученной модели. Полученную программу на языке LD можно записать в ПЛК в качестве алгоритма управления исследуемой системой.

В данной работе предполагалось, что все события в системе являются контролируруемыми и наблюдаемыми, тогда как вопросы возникновения неконтролируемых событий, а также существования тупиков и циклов рассмотрены не были, и являются направлениями для дальнейших исследований.

### ЛИТЕРАТУРА

1. Wonham W., Ramadge P. The Control of Discrete Event Systems. Proceedings of the IEEE. – 1989.
2. Питерсон Дж. Теория сетей Петри и моделирование систем / пер. с англ. – 1984.

3. Котов В.Е. *Сети Петри*. – М.: Наука, 1984.
4. Таль А.А., Юдицкий С.А. Иерархия и параллелизм в сетях Петри // *АиТ*. – 1982. – С. 111–139.
5. Holloway L.E., Krogh B.H. Synthesis of Feedback Logic for a Class of Controlled Petri Nets. *IEEE Trans. Automat. Contr.*, 35. – 1990. – P. 514–523.
6. Holloway L., Krogh B., Giua A. A Survey of Petri Net Methods for Controlled Discrete Event Systems. *Discrete Event Dynamic Systems: Theory and Application*. – 1997. – P. 151–190.
7. Feedback Control of Petri Nets Based on Place Invariants / K. Yamalidou, J. Moody, M. Lemmon, P. Antsaklis // *Automatica*. – 1996. – № 32(1). – P. 15–28.
8. Амбарцумян А.А. Супервизорное управление структурированными динамическими дискретно-событийными системами // *АиТ*. – 2009. – С. 156–176.
9. Амбарцумян А.А., Томилин Е.Е. Метод прямого синтеза супервизора для структурированных дискретно-событийных систем // *АиТ*. – 2010. – С. 168–188.
10. Амбарцумян А.А. Моделирование и синтез супервизорного управления на сетях Петри для рассредоточенных объектов. I. Механизм взаимодействия и базовый метод // *АиТ*. – 2011.
11. Амбарцумян А.А. Моделирование и синтез супервизорного управления на сетях Петри для рассредоточенных объектов. II. Метод синтеза супервизора по множеству последовательностей общего вида // *АиТ*. – 2011.